

組合箱梁橋的应力解析 和設計計算法

工學博士 小西一郎 著
小松定夫 大橋昭光

尹家驛 譯
張寰校

人民交通出版社

組合箱梁桥的应力解析 和設計計算法

工学博士 小西一郎 著
小松定夫 大橋昭光

尹家麟 譯
張寰 校

人民交通出版社

本書譯自日本土木學會論文集中關於箱梁橋結構力學研究的專題。主要內容就組合箱梁橋按照彈性理論，在種種偏心荷重狀態下所發生的應力，作詳細的解析，並就分析的結果，提出合理的、實用的設計計算方法的方案，可供橋梁設計人員研究參考。

組合箱梁橋的應力解析和 設計計算法

本書根據日本土木學會1955年日文版本譯出

尹家駢 譯 張 寶 校

*

人民交通出版社出版

(北京安定門外和平里)

北京市書刊出版業營業許可証出字第〇〇六號

新 华 書 店 发 行

人民交通出版社印刷廠印刷

*

1959年8月北京第一版 1959年8月北京第一次印刷

開本：787×1092 $\frac{1}{2}$ 印張：1 $\frac{1}{2}$ 張

全書：53000字 印數：1—1,300冊

統一書號：15044·1344

定價(11)：0.35元

目 次

1. 前言	2
2. 組合箱梁桥断面的單純 扭轉.....	4
3. 組合箱梁桥断面的 弯曲.....	7
4. 組合箱梁桥断面的弯曲扭轉联合作用.....	10
5. 在代表的偏心荷重状态下組合箱梁桥的解法.....	13
6. 因弯曲产生的应力 σ_b , τ_b	14
7. 因扭轉产生的应力 τ_s , τ_w , σ_w	15
8. 剪断 中心.....	19
9. 数值計算 举例.....	21
10. 慣用設計計算法对箱梁桥的适用及其 批判.....	41
11. 組合箱梁桥合理的設計計算法的一个方案.....	55
12. 結語	58

繆

1. 前 言

为了減輕桥梁的靜荷重，从桥梁建筑材料、結構方法等各个方面进行研究，这在战后一些国家获得了进步是大家所知道的。如用箱梁的桥梁結構就是其中的一例。这种結構的特長是：由于利用立体的薄板結構，所以重量輕，而富有剛性。例如德国的 *Köln-Deutz*、*Düsseldorf-Neuss*、*Bürgermeister-Smidt* 等桥，采用跨徑长达100~200公尺的大跨連續梁，充分地发挥了这种結構的特長。鐵道桥梁也使用这种結構，如 *Schöntal* 桥、是跨徑36公尺长的上承式铁路箱梁桥。又如在美国所見的 *North-Bend*、*Portage Canal* 等桥，由于用两个鋼箱梁把钢筋混凝土版連接在一起的所謂組合箱形梁，所以能够成为跨徑40公尺左右的。一种經濟的新式結構的簡支梁桥。

由于桥梁上的荷重位置，特別是在偏心荷重状态之下，箱梁桥的設計，不能完全套用以往对于平面結構所用的一般設計計算法。因为箱梁不仅在跨徑方面，而且在桥梁横向方面比較寬闊，所以用立体的应力解析法是必要的。因之完全以梁平面构造的应力分析为依据的，旧的設計方法就不能适用了。然而把无益的、繁复的計算作为設計計算法也是不胜其煩；所以希望能够通过立体的应力解析結果，反映出实用的設計計算法。本書就組合箱梁桥按照彈性理論，在种种偏心荷重状态之下所发生的应力，尽可能的作詳尽的解析。其次，再就分析的結果，提出合理的实用設計計算方法的方案，想对于桥梁结构的改善与实用方面会有些帮助。

如图1所示，两根箱形主梁并列，依靠主梁上的剪力結合杆件（Shear Connector）与混凝土版組合成为共同工作的組合箱梁，通常在主梁之間适当地配置了对傾构架，以防止桥梁横断面的变形。因此，本書提出考慮沿桥梁跨徑全长，假定横断面也如图1，不再变更。

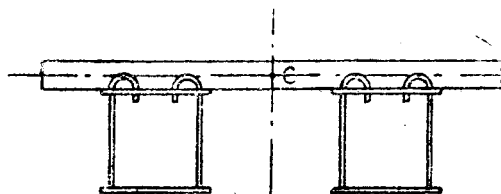


图 1 組合箱梁桥横断面

在組合箱梁桥的同一橫斷面內，因为鋼梁与混凝土共同工作，二者材料的彈性系数和剪切彈性系数的数值不同，因之本書將混凝土断面按鋼材断面換算，以便适应它的彈性性質。

如图 2 所示，把組合箱梁的剪切中心作为原点 o ，順跨徑方向作为 x 軸，垂直方向作为 y 軸， xy 軸成为直角方向的作为 z 軸。混凝土版是

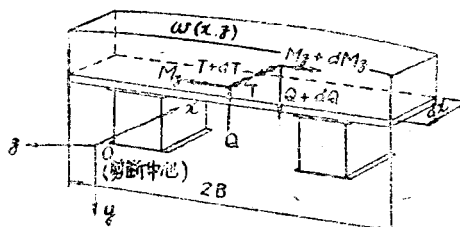


图 2 箱梁桥横断面力与力矩平衡图

抵抗剪应力 τ_{zx} 的。同时，作为剪力結合杆件的弯鈎抵抗剪应力 τ_{xy} ，則图 1 所表示的箱梁桥断面，在力学上即如图 3 所表示的等值断面图。

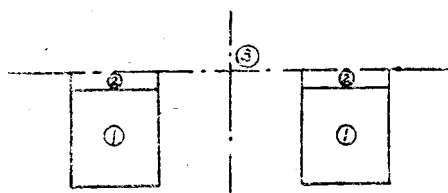


图 3 組合箱梁桥的等值横断面

图中：①为抵抗弯曲和扭轉的鋼板箱梁薄板断面部份；②为抵抗弯曲和扭轉的鋼板箱梁上部頂蓋板（Corerlote），由剪力結合杆件与混凝土版形成的箱梁薄板断面部份；③为抵抗弯曲与剪应力 τ_{sx} 的混凝土版部份。

2. 組合箱梁桥断面的單純扭轉

图 3 所示組合箱梁的断面受到單純扭轉，在結構力学的构成部份①②③，不論在任何情况下，它的厚度比較其它尺寸为小；因此，对于扭轉，应把混凝土版③分开，而个别地予以考虑。所以，在这种情况下，作为抵抗單純扭轉的断面，如图 4 所示，把箱梁①③部份的薄板 aa' 、 bb' 、 cc' 、 dd' 当薄板断面来考虑，并无妨碍。箱梁①③部份在内部属于 2 次不靜定断面。沿着这个薄板断面的薄板中心綫作曲綫座标，則它的面內剪应力 τ_{sx} 应为：

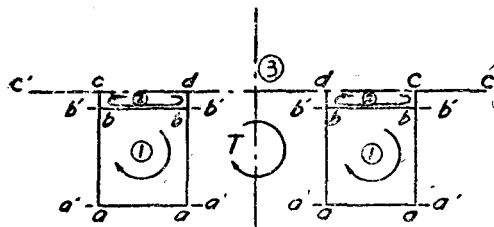


图 4 組合箱梁桥断面的單純扭轉

$$\tau_{sx} = G \left(\frac{\partial w}{\partial s} + \frac{\partial (r_s \theta)}{\partial x} \right) \quad (a)$$

式中：
① r_s ——从扭轉中心到箱梁板厚中心綫向下垂綫长度；

θ——在箱梁断面 x 的扭轉角；

w ——断面内一点的翹曲；

G ——材料的剪断彈性系数。

断面在 x 方向的一定情况下，把公式 (a) 从断面上的任意一点 s

到点 s , 其积分为:

$$\int_{s_0}^s \tau_{sx} ds = \int_{s_0}^s G \frac{\partial w}{\partial s} ds + \int_{s_0}^s G \frac{d\theta}{dx} r_s ds \dots \dots \dots \text{(b)}$$

如果把 *St Venant* 的扭转剪断流作为 q_s 、 G 在 $s_0 \sim s$ 区域内的一定情况下, 可以公式 (b) 得出:

$$\int_{s_0}^s \frac{q_s}{t} ds = G (w_s - w_0) + G \frac{d\theta}{dx} \int_{s_0}^s r_s ds$$

G 值对于钢梁及剪力结合杆件应为 G_s 、对于混凝土应为 G_c , 故:

$$\int_{s_0}^s \frac{q_s n_g}{t} ds = G_s (w_s - w_0) + G_s \frac{d\theta}{dx} \int_{s_0}^s r_s ds \dots \dots \text{(1)}$$

式中: $n_g = \begin{cases} 1 & \text{——钢梁及剪力结合杆件} \\ G_s/G_c & \text{——混凝土} \end{cases}$

图 5 所示是考虑多数薄板箱梁断面互相邻接的箱梁。今假设一个任意的第 k 号的薄板断面, 沿着这个断面把公式 (1) 施行积分, 则断面 k 内的剪断流 q_k 应为:

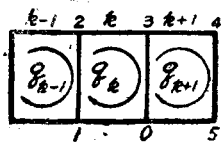


图 5 多板封闭断面的单纯扭转

$$q_k \int_0^1 \frac{n_g}{t} ds = G_s (w_1 - w_0 + \frac{d\theta}{dx} \int_0^1 r_s ds),$$

$$(q_k - q_{k-1}) \int_1^2 \frac{n_g}{t} ds = G_s \left(w_2 - w_1 + \frac{d\theta}{dx} \int_1^2 r_s ds \right),$$

$$q_k \int_2^3 \frac{n_g}{t} ds = G_s \left(w_3 - w_2 + \frac{d\theta}{dx} \int_2^3 r_s ds \right),$$

$$(q_k - q_{k+1}) \int_3^0 \frac{n_g}{t} ds = G_s \left(w_0 - w_3 + \frac{d\theta}{dx} \int_3^0 r_s ds \right).$$

但是 \int_0^1 是表示在 $0 \sim 1$ 的薄板区域内的积分。

把上述 4 个公式的各边相加，即得：

$$\begin{aligned} -qk-1 \int_{k-1, k} \frac{n_g}{t} ds + qk \oint_k \frac{n_g}{t} ds - qk+1 \int_{k, k+1} \frac{n_g}{t} ds \\ = G_s \frac{d\theta}{dx} \oint_k r_s ds \dots\dots (c) \end{aligned}$$

今 $\tilde{q}_k = \frac{qk}{\frac{d\theta}{dx} G_s} \dots\dots (2)$

如果把 \tilde{q}_k 作为扭轉函数与定义，则可将公式 (c) 改为：

$$\begin{aligned} -\tilde{q}_k-1 \int_{k-1, k} \frac{n_g}{t} ds + \tilde{q}_k \oint_k \frac{n_g}{t} ds - \tilde{q}_{k+1} \int_{k, k+1} \frac{n_g}{t} ds \\ = 2F_k \dots\dots (3) \end{aligned}$$

式中： F_k —— 断面 k 的板厚中心綫所圍繞部分的面积；

\oint_k —— 环繞断面 k 一周的綫积分；

$\int_{k, k+1}$ —— 沿着断面 k 与 $k+1$ 的共同板的綫积分。

成为本書主題的图 6 的两个鄰接薄板箱梁断面，是就①、②两个断面用公式 (3) 表达的，如就 \tilde{q}_1 、 \tilde{q}_2 来求解，则 \tilde{q}_1 和 \tilde{q}_2 分別得出以下的公式：

$$\left. \begin{aligned} \tilde{q}_1 &= 2 \frac{C_{22}F_1 + C_{12}F_2}{C_{11}C_{22} - C_{12}^2}, \\ \tilde{q}_2 &= 2 \frac{C_{11}F_2 + C_{12}F_1}{C_{11}C_{22} - C_{12}^2}. \end{aligned} \right\} \dots\dots (4)$$

式中： $C_{11} = \oint_1 \frac{n_g}{t} ds$, $C_{12} = \int_{1,2} \frac{n_g}{t} ds$,

图 4 所表示的封闭断面以外，图中点 线用 aa' 、 bb' 、 cc' 、 dd 所表示的开口断面即为钢翼缘 (flange) 部分，如有混凝土床版的情况下，这个开口断面抵抗扭博。今假定有 2 个箱梁的桥，它的开口断面钢翼缘厚度为 t ，宽为 b ，则从图 4 中可以求出全断面的扭轉力矩 T 是：

$$T = 2(2q_1F_1 + 2q_2F_2) + \sum_{s,c} -\frac{1}{3}Gbt^3 \cdot \frac{d\theta}{dx} \dots \quad (d)$$

(d) 式中的右边第 1 項是 2 個箱梁的封閉斷面部份；第 2 項是關於開口斷面部分的項目： $\Sigma_{s,c}$ 是表示開口斷面鋼翼緣部份及混凝土床版全體的總和。

从上式，如根据扭转刚性 K 的定义，则在公式(5)中的 K ，可用公式(4)，(2)，(4)求出，即：

$$K = 8 \frac{C_{22} F_1^2 + 2C_{12}F_1F_2 + C_{11}F_2^2}{C_{22} - C_{12}^2} G_s + \sum_{s,c} -\frac{1}{3} Gbt^3 \quad (6)$$

3. 組合箱梁桥断面的弯曲

當計算組合箱梁桥斷面的弯曲垂直接力時，虽然通常適用 I 形組合梁的应力計算公式，但是，關於剪应力則必須根據所謂“剪斷流”(Shear flow)的理論來計算。

現在把圖 3 所表示的組合箱梁添的一個箱梁（圖 6）的封閉斷面假定承受彎曲，則在彎曲垂直應力發生的同時，就有均衡的剪斷流 q_b ，發

生作用。因为这个封闭断面在内部是不稳定的，所以，如图 7 所示，把箱梁薄板切断而表现的稳定开口断面，它的稳定剪断流₀可以按照下式来计算即：

图 6

图 7

式中: Q —作用于断面的剪力;

I —換算組合箱梁為鋼材的斷面 2 次力矩;

$\int_0^s \frac{yt}{n} ds$ —— 对通过梁断面薄板部份 $0 \sim s$ 的断面重心 S 的水平
轴 z , 换算钢材断面的 1 次力矩;

$n = \begin{cases} 1 & \text{——鋼梁及剪力結合杆件,} \\ E_s/E_c & \text{——混凝土。} \end{cases}$

图 6 的不静定断面的剪断流 \bar{q}_b 是由静定体系如图 7 的剪断流 \bar{q}_b 与各个薄板断面的每一个的不静定剪断流与相加而求得的。即：

断面单纯承受弯曲，而不产生扭转的条件为：

把公式(8)代入公式(9), 则适用于如图6所示的情况:

$$\left. \begin{aligned} S_1 \oint_1 \frac{n_g}{t} ds - S_2 \int_{1,2} \frac{n_g}{t} ds + \oint_1 \frac{\bar{q}_1 n_g}{t} ds = 0, \\ -S_1 \int_{1,2} \frac{n_g}{t} ds + S_2 \left(\oint_2 \frac{n_g}{t} ds + \oint_2 \frac{\bar{q}_2 n_g}{t} ds \right) = 0 \end{aligned} \right\} \dots (10)$$

公式(10)是关于不静定剪断流 s_1 、 s_2 的联立方程式。又，公式(10)中的 \bar{q}_1 、 \bar{q}_2 是分别属于图7薄板断面①、②的板内的静定剪断流，这个数值根据公式(7)可以很容易的计算出来。

在公式(10)中，如用公式(4')的系数，即得：

$$\left. \begin{aligned} c_{11}S_1 - c_{12}S_2 + \int_1 \frac{\bar{q}_1 n_g}{t} ds &= 0, \\ -c_{12}S_1 + c_{22}S_2 + \int_2 \frac{\bar{q}_2 n_g}{t} ds &= 0 \end{aligned} \right\} \quad (10').$$

公式(10')中的系数 c_{11} 、 c_{12} 和 c_{22} 已如公式(4')所示，是按照断面形状、材料的性质所决定的。又，在各个积分中，与积分因素 ds 适应的 n_g 值在钢梁及剪力结合杆件的情况下， $n_g = 1$ ；在混凝土的情况下， $n_g = G_s/G_c$ 。又，式中的 t 是梁的薄板厚度。通过剪力结合杆件，对于 ds 的 t 值，是采用如下所指出的等值厚度(Effective Thickness)。即如图8所示，在剪力结合杆件的间距 d 、水平方向的宽度 b 、厚度 t_d 的情况下，如果对剪力结合杆件有一定的剪断流 q_d 作用时，则在各个剪力结合杆件之间，剪断流是不存在的，即成为不连续性的剪断流的状态。为了把这个不连续性的剪断流换算成连续性的剪断流，应在 x 方向假定为连续的薄钢板，它的等值厚度 t_e 如图1所示，可作出下式：

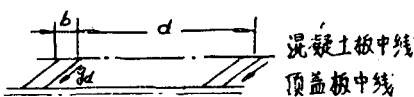


图8 剪力結合杆件的等值厚度 t_d

$$t_e = \frac{b \cdot t_d}{d} \times 2 \quad (11)$$

在剪力結合杆件部份，公式(10')的 t ，用公式(11)计算是必要的。

这样，由公式(10')，可以算出 S_1 和 S_2 ，按照公式(8)， $q_1 = \bar{q}_1 + S_1$ ， $q_2 = \bar{q}_2 + S_2$ ，从这个式中，可求出实际的剪断流 q_1 和 q_2 。

4. 組合箱梁桥断面的弯曲 扭轉联合作用

组合箱梁桥对梁断面承受非对称的荷载状态下，箱梁发生弯曲，同时受到扭转。在这种情况下，由于扭转，跨径方向的弯翻（warping），一般是受到拘束的，它的拘束程度是随着断面的位置变化的。这一点在单纯扭轉的情况下，有着显明的、内容不同的地方。这样，弯曲扭轉联合作用时，因为扭轉而使跨径方向的弯翻受到拘束，以至于产生应变。所以，跨径方向的垂直应力并与其平衡，而发生2次剪应力。这种影响可能与弯曲而产生的最大应力的断面一致或接近，必须加以注意。

弯翹 w_s 由于向着跨徑方向(縱向)变化所生的垂直应力 $\sigma_{w\theta}$ 为:

其次,按照箱梁薄板的微小体顺跨径方向的平衡条件方程式,由于弯翘而生的垂直应力 σ_{uv} 与这个平衡条件所产生的2次剪应力 τ_{uv} 的关系为:

$$\frac{\partial(\tau_{w^t})}{\partial s} = - \frac{\partial(\sigma_{w^t})}{\partial \pi} \quad \dots \dots \dots \quad (13)$$

如将弯翘函数 w_s 下一定义，则因弯曲扭轉联合作用所生的 2 次剪断流 q_w ，可以公式(12)、(13)、(14)求出下式：

$$\begin{aligned} q_{iw} = \tau_{iw^t} &= \int -\frac{\partial(\tau_{iw^t})}{\partial s} ds = -\int \frac{\partial(\sigma_{iw^t})}{\partial x} ds \\ &= -E_s \frac{d^3\theta}{dx^3} \cdot \left[\int_0^s \frac{W_{st}}{n} ds + S_{iw} \right] \dots \dots (15) \end{aligned}$$

式中 S_{10} 为不静定剪断流。

根据剪断应变的周期性, ω 在对称弯曲情况下, 可成立与公式(9)同形的下式:

一方向的扭轉力矩 T_w 為：

式中 \int_B 为全桥断面的线积分。把公式(15)代入公式(17), 即得:

$$\begin{aligned}
T_{iw} &= \int_F \left[\left(-E_s \frac{d^3 \Theta}{dx^3} \right) \left\{ \int_0^s \frac{W_{st}}{n} ds + S_{iw} \right\} r_s \right] ds \\
&= \Sigma_F \int_{i-1}^i \left[\left(-E_s \frac{d^3 \Theta}{dx^3} \right) \left\{ \int_0^s \frac{W_{st}}{n} ds + S_{iw} \right\} r_s \right] ds \\
&= \Sigma_F \left[\int_0^s \left(-E_s \frac{d^3 \Theta}{dx^3} \right) r_s ds \times \left(\int_0^s \frac{W_{st}}{n} ds + S_{iw} \right) \right]_{i-1}^i - \\
&\quad - \Sigma_F \int_{i-1}^i \frac{W_{st}}{n} \left\{ \int_0^s \left(-E_s \frac{d^3 \Theta}{dx^3} \right) r_s ds \right\} ds = \\
&= \Sigma_i \left[\Sigma \left\{ \left(-E_s \frac{d^3 \Theta}{dx^3} \right) \left(\int_i^s \frac{W_{st}}{n} ds + S_{iw} \right) \right\} \times \int_i^s r_s ds \right] = \\
&\quad - \left(-E_s \frac{d^3 \Theta}{dx^3} \right) \Sigma_F \int_{i-1}^i \left\{ \frac{W_{st}}{n} \left(\int_0^s r_s ds \right) \right\} ds \\
&= \Sigma_i \left[q_{wi} \int_i^s r_s ds \right] - \left(-E_s \frac{d^3 \Theta}{dx^3} \right) \int_F \frac{W_{st}}{n} \left(\int_0^s r_s ds \right) ds
\end{aligned}$$

..... (18)

式中: Σ_i 是表示将箱型隅角部份 i 作为全隅角的总和; Σ 是汇集隅角

部份 i 所构成各个薄板的 i 側值的总和; $\int_i r_s ds$ 是构成箱梁的各个薄

板隅角部 i 的 $\int_0^s r_s ds$ 值。因为 q_{wi} 是流入隅角部分 i 的剪断流, 所以把流出的剪断流所减去的值, 由剪断流理論可以明白, 即:

$$q_{vi} = 0$$

所以从公式(18), 可得出:

$$T_w = - \left(-E_s \frac{d^3\theta}{dx^3} \right) \int_F \frac{W_{st}}{n} \left\{ \int_0^s r_s ds \right\} ds$$

其次, 根据公式(18), 同样的誘导出:

$$\begin{aligned} & - \left(E_s \frac{d^3\theta}{dx^3} \right) \int_F \left[\frac{W_{st}}{n} \left\{ \int_0^s \frac{\tilde{q}_n g}{t} ds \right\} \right] ds \\ &= \Sigma_i \left[q_{wi} \int_i \frac{\tilde{q}_n g}{t} ds \right] - \int_F \left[\frac{\tilde{q}_n g}{t} \left\{ \left(-E_s \frac{d^3\theta}{dx^3} \right) \right. \right. \\ & \quad \left. \left. \left(\int_0^s \frac{W_{st}}{n} ds + S_w \right) \right\} \right] ds \end{aligned}$$

因为 $q_{wi} = 0$,

$$\begin{aligned} & - \left(E_s \frac{d^3\theta}{dx^3} \right) \int_F \left[\frac{W_{st}}{n} \left\{ \int_0^s \frac{\tilde{q}_n g}{t} ds \right\} \right] ds \\ &= - \int_F \frac{\tilde{q}_n g}{t} q_w ds \\ &= -2 \tilde{q}_1 \oint_1 \frac{q_w n_g}{t} ds - 2 \tilde{q}_2 \oint_2 \frac{q_w n_g}{t} ds \end{aligned}$$

根据公式(16), 上式右边的值无论那个都成为 0, 所以:

$$T_w = -E_s \frac{d^3\theta}{dx^3} \int_F \left[\frac{W_{st}}{n} \left\{ - \int_0^s r_s ds + \int_0^s \frac{\tilde{q}_n g}{t} ds \right\} \right] ds \quad (19)$$

如圖 1 所示，組合箱梁橋斷面是可以考慮為左右對稱斷面的；而且，如果把 y 軸與床版中心線之間的支點 C 作為 $S=0$ 的原點，則 C 點的彎翹等於 0，即：

$$(W_s)_{s=0} = 0$$

从公式(1),(2),

$$W_s = \frac{W_s}{d\theta} = - \int_0^s r_s ds + \int_0^s \frac{\tilde{q}^n g}{t} ds \dots \dots \dots (2)$$

从公式(19)、(20),

$$T_w = -E_s \frac{d^3\theta}{dx^3} \int_E \frac{W_s^2 t}{n} ds$$

現在如果使

$$C_w = \int_E \frac{W_s^2 t}{n} ds \dots \dots \dots \quad (21)$$

四

式(22)中的 $E_s C_w$ 可叫做“弯曲扭转刚性”。

5. 在代表的偏心荷重状态下 组合箱梁桥的解法

关于通过剪断中心 O 、平行于跨径方向 x 轴的偏心垂直荷重作用的情况下，如图 2 所示，箱梁桥断面围着 x 轴产生扭轉角 θ ；同时，箱梁断面全体也产生垂直方向的撓曲 y 。就箱梁桥断面来说， y 轴的弯曲剛性一般比較 z 軸的剛性大得多，所以在偏心垂直荷重作用的情况下，水平方向的撓曲很小，故可不予考虑。因此，关于 y 方向的撓曲及弯曲扭轉联合作用，可以用以下的彈性方程式来求得。

关于弯曲，可用下式。

$$E_s I \frac{d^4 \gamma}{dx^4} = \int_{-B}^B w dz \dots \dots \dots \dots \dots \dots \dots \quad (23)$$

关于单纯扭轉和弯曲扭轉联合作用，可由公式(5)、(22)得出：

$$K \frac{d\theta}{dx} - E_s C_w \frac{d^3\theta}{dx^3} = T \dots \dots \dots \quad (24)$$

式中: $E_s I$ —組合箱梁斷面的彎曲剛性;

T ——作用于断面的扭轉力矩。

其次，作为平衡条件来論，跨徑方向(x 軸)及与梁成直角的水平方向(z 軸)，无论何时，是不受力的，所以：

$$\Sigma^X = 0, \quad \Sigma^Z = 0, \quad \Sigma^M = 0$$

因而作为平衡条件方程式，对于弯曲，应如下式所示：

$$\begin{aligned} \sum Y = 0 : \quad & \frac{dQ}{dx} = - \int_{-B}^B w dz, \\ \sum M_z = 0 : \quad & \frac{dM_z}{dx} = Q \end{aligned} \quad \left. \right\} \dots \dots \dots \quad (25)$$

对于扭转，如下式所示：

$$\Sigma M_x = 0 : \quad \frac{dT}{dx} = - \int_{-B}^B w dz \dots \dots \dots \quad (26)$$

由于偏心垂直荷重而发生的断面力，弯曲力矩(M)、剪力(Q)及扭轉力矩(T)可用以上各式求得。

6. 因弯曲产生的应力 σ_b , τ_b

由于弯矩 M 所产生的弯曲应力 σ_b , 仍适用于普通 I 形梁的公式。